

# Seria ABT

AIRBEST

## Miniaturowy generator podciśnienia



UNIWERSALNE

### Właściwości

- ◇ Montaż liniowy
- ◇ Długa i cienka obudowa z tworzywa sztucznego, kompaktowy rozmiar
- ◇ Szybkozłącze wtykowe do bezpośredniego przyłączenia
- ◇ Optymalna konstrukcja bezpośredniego wydechu bocznego

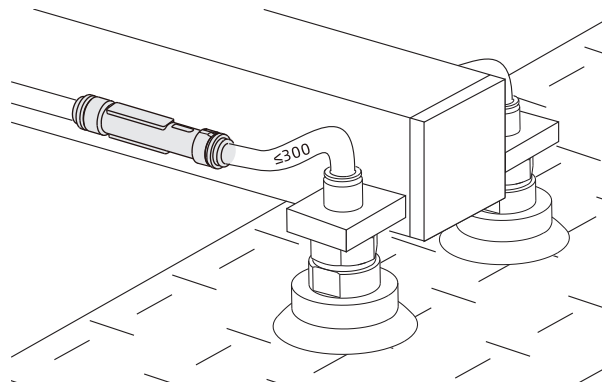
### Zalety

- ◇ Możliwość bezpośredniego przyłączenia do przewodu
- ◇ Odpowiedni do instalacji w wąskich przestrzeniach
- ◇ Wygodne przyłączenie, nie wymaga dodatkowych akcesoriów montażowych
- ◇ Wysoka redukcja hałasu



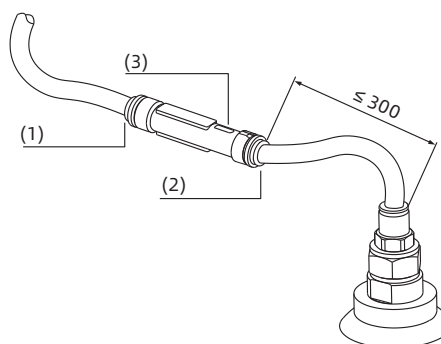
### Zastosowania

- ◇ Liniowy generator podciśnienia może być bezpośrednio przyłączony do przewodu PU
- ◇ Odpowiedni dla systemów przenoszenia o ograniczonej przestrzeni



### Konstrukcja

- ◇ (1) Port zasilania
- ◇ (2) Port podciśnienia
- ◇ (3) Wydech



### Kod produktu

## ABT - T05

① ②

| ① Seria | ② Specyfikacja                        |
|---------|---------------------------------------|
| ABT     | S02 X10<br>T05 P12<br>X2.5 D16<br>S08 |

### Parametry techniczne

| Model    | Zakres ciśnienia zasilania powietrzem (bar) | Ciśnienie znamionowe zasilania powietrzem (bar) | Maks. poziom podciśnienia (-kPa) | Maks. przepływ podciśnienia (-kPa) | Zużycie powietrza (NL / min) | Poziom hałasu dB(A) | Temperatura pracy (°C) | Waga (g) | Zalecana średnica przewodu (mm) |                   |
|----------|---|---|----------------------------------|------------------------------------|------------------------------|---------------------|------------------------|----------|---------------------------------|-------------------|
|          |   |   |                                  |                                    |                              |                     |                        |          | Port zasilania                  | Port podciśnienia |
| ABT-S02  | 4.0~7.0                                     | 6.0   | 75                               | 16.8                               | 8                            | 70                  | 0~60                   | 15       | φ6                              | φ6                |
| ABT-T05  | 4.0~7.0                                     | 5.0   | 81                               | 18                                 | 18.5                         | 70                  | 0~60                   | 15       | φ6                              | φ6                |
| ABT-X2.5 | 4.0~7.0                                     | 5.0   | 90                               | 15.6                               | 9.5                          | 70                  | 0~60                   | 15       | φ6                              | φ6                |
| ABT-S08  | 4.0~7.0                                     | 6.0   | 75                               | 46                                 | 27                           | 73                  | 0~60                   | 29       | φ8                              | φ8                |
| ABT-X10  | 4.0~7.0                                     | 5.0   | 92                               | 42                                 | 30                           | 73                  | 0~60                   | 29       | φ8                              | φ8                |
| ABT-P12  | 2.0~7.0                                     | 3.14  | 90                               | 42                                 | 29                           | 73                  | 0~60                   | 29       | φ8                              | φ8                |
| ABT-D16  | 4.0~7.0                                     | 6.0   | 72                               | 40                                 | 46                           | 77                  | 0~60                   | 29       | φ8                              | φ8                |

### Przepływ podciśnienia (NL / min) przy różnych poziomach podciśnienia (-kPa)

| Model    | Ciś. zasilania powietrzem (bar) | Zużycie powietrza (NL / min) | Maks. poziom podciśnienia (-kPa) |      |      |      |      |     |     |     |     |    |
|----------|---------------------------------|------------------------------|----------------------------------|------|------|------|------|-----|-----|-----|-----|----|
|          |                                 |                              | 0                                | 10   | 20   | 30   | 40   | 50  | 60  | 70  | 80  |    |
| ABT-S02  | 6.0                             | 8                            | 16.8                             | 12.2 | 6.3  | 4.6  | 3.9  | 3.0 | 2.0 | -   | -   | 75 |
| ABT-T05  | 5.0                             | 18.5                         | 18                               | 16.2 | 13.3 | 9.9  | 8.2  | 5.6 | 4.2 | 3.1 | 1.3 | 81 |
| ABT-X2.5 | 5.0                             | 9.5                          | 15.6                             | 11.6 | 6.6  | 4    | 3.3  | 2.6 | 1.7 | -   | -   | 90 |
| ABT-S08  | 6.0                             | 27                           | 46                               | 42   | 32.6 | 22.6 | 12   | 9.8 | 8.3 | 5.9 | -   | 75 |
| ABT-X10  | 5.0                             | 30                           | 42                               | 40   | 30.6 | 22.2 | 13.5 | 8.9 | 6.6 | 4.5 | 2   | 92 |
| ABT-P12  | 3.14                            | 29                           | 42                               | 36   | 25.6 | 14.9 | 10.4 | 8.9 | 6.6 | 4.2 | 19  | 90 |
| ABT-D16  | 6.0                             | 46                           | 40                               | 38   | 30.5 | 26.7 | 22   | 17  | 12  | 3.5 | -   | 72 |

### Czas opróżniania (s / L) do osiągnięcia różnych poziomów podciśnienia (-kPa)

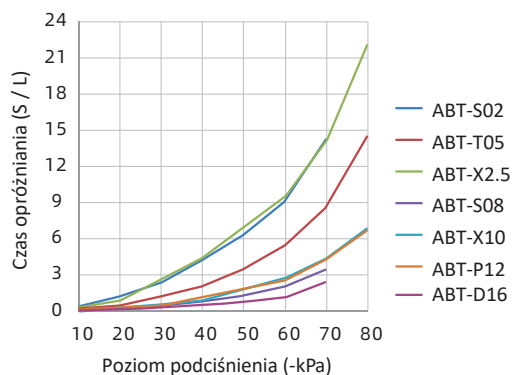
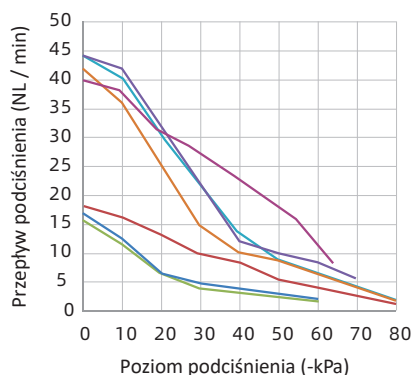
| Model    | Ciś. zasilania powietrzem (bar) | Zużycie powietrza (NL / min) | Maks. poziom podciśnienia (-kPa) |      |      |      |      |      |      |       |    |
|----------|---------------------------------|------------------------------|----------------------------------|------|------|------|------|------|------|-------|----|
|          |                                 |                              | 10                               | 20   | 30   | 40   | 50   | 60   | 70   | 80    |    |
| ABT-S02  | 6.0                             | 8                            | 0.3                              | 1.1  | 2.4  | 4.1  | 6.2  | 9    | 14.3 | -     | 75 |
| ABT-T05  | 5.0                             | 18.5                         | 0.18                             | 0.52 | 1.11 | 1.98 | 3.35 | 5.45 | 8.5  | 14.6  | 81 |
| ABT-X2.5 | 5.0                             | 9.5                          | 0.3                              | 0.9  | 2.4  | 4.3  | 6.7  | 9.5  | 14.1 | 22.03 | 90 |
| ABT-S08  | 6.0                             | 27                           | 0.07                             | 0.2  | 0.39 | 0.74 | 1.35 | 2.14 | 3.35 | -     | 75 |
| ABT-X10  | 5.0                             | 30                           | 0.05                             | 0.23 | 0.48 | 0.95 | 1.68 | 2.71 | 4.18 | 6.86  | 92 |
| ABT-P12  | 3.14                            | 29                           | 0.12                             | 0.29 | 0.59 | 1.07 | 1.86 | 2.66 | 4.33 | 6.72  | 90 |
| ABT-D16  | 6.0                             | 46                           | 0.04                             | 0.18 | 0.39 | 0.63 | 0.95 | 1.47 | 3.1  | -     | 72 |

# Seria ABT

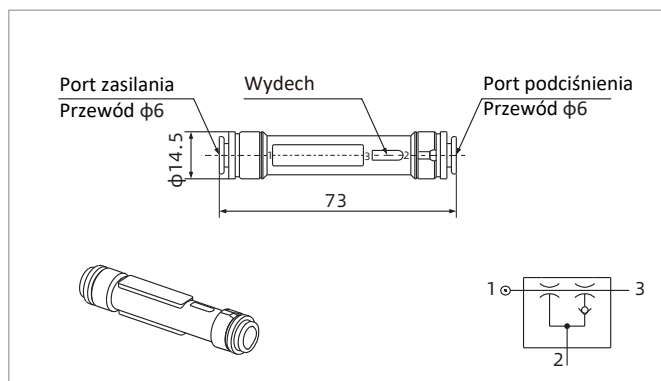


## Miniaturowy generator podciśnienia

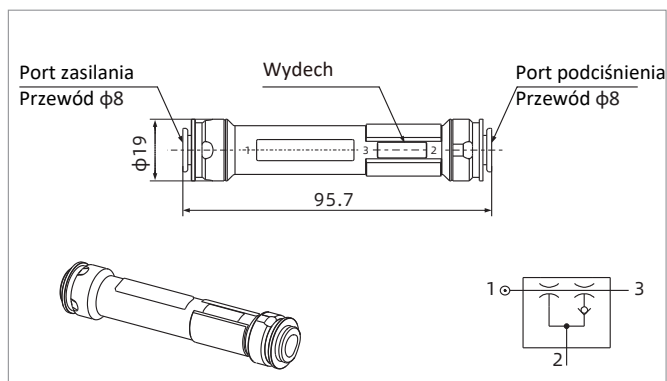
### Parametry techniczne



### Wymiary (mm)



ABT-S02/T05/X2.5



ABT-S08/X10/P12/D16